



Uji Aktivitas Senyawa Aktif Daun Sirsak sebagai Kandidat Antidepresan dengan Pendekatan *In silico*

Sutan Mulia Ananda, Gemah Nuripah*

Prodi Pendidikan Kedokteran, Fakultas Kedokteran, Universitas Islam Bandung, Indonesia.

ARTICLE INFO

Article history :

Received : 3/9/2022

Revised : 19/12/2022

Published : 21/12/2022



Creative Commons Attribution-
NonCommercial-ShareAlike 4.0
International License.

Volume : 2
No. : 2
Halaman : 135-172
Terbitan : Desember 2022

ABSTRAK

Selain dengan obat-obatan konvensional, depresi dapat diobati dengan pengobatan herbal seperti daun sirsak (*Annona muricata L.*). Tujuan penelitian ini adalah untuk mengetahui efektivitas dan mekanisme senyawa aktif daun sirsak (*Annona muricata L.*) sebagai obat antidepresan dengan pendekatan *in silico*. Pada penelitian ini, metode *in silico* dilakukan dengan bantuan perangkat komputer dan *data base online* seperti *PubChem*, *SwissTargetPrediction*, dan *STRING* untuk menganalisis protein target. Penelitian ini dilakukan pada bulan Maret–Desember 2020. Hasil penelitian menunjukkan 13 senyawa aktif daun sirsak (*Annona muricata L.*) dapat berikatan dengan delapan protein target yaitu ACHE (*acetylcholinesterase*), ADRA2C (*Alpha-2C adrenergic receptor*), DRD1 (*D1A dopamine receptor*), DRD2 (*D2 dopamine receptor*), HTR2A (*5-hydroxytryptamine receptor 2A*), HTR2C (*5-hydroxytryptamine receptor 2C*), MAOA (*Monoamine oxidase A*) dan SLC6A3 (*Sodium-dependent dopamine transporter*). Kesimpulan penelitian ini senyawa aktif yang terkandung dalam daun sirsak (*Annona muricata L.*) dapat memengaruhi reseptor dan proses metabolisme dopamin, *norepinephrin* dan *serotonin*.

Kata Kunci : Antidepresan; Daun Sirsak; In silico.

ABSTRACT

Apart from conventional medicines, depression can be treated with herbal remedies such as soursop (*Annona muricata L.*) leaves. The purpose of this study was to determine the effectiveness and mechanism of the active compound of soursop leaves (*Annona muricata L.*) as an antidepressant drug using the *in silico* approach. In this study, the *in silico* method was carried out with the help of computer devices and online data bases such as *PubChem*, *SwissTargetPrediction*, and *STRING* to analyze the target protein. This research was conducted in March–December 2020. The results showed 13 active compounds of soursop leaves (*Annona muricata L.*) can bind to eight target proteins, namely ACHE (*acetylcholinesterase*), ADRA2C (*Alpha-2C adrenergic receptor*), DRD1 (*D1A dopamine receptor*), DRD2 (*D2 dopamine receptor*), HTR2A (*5-hydroxytryptamine receptor 2A*), HTR2C (*5-hydroxytryptamine receptor 2C*), MAOA (*Monoamine oxidase A*) and SLC6A3 (*Sodium-dependent dopamine transporter*). The conclusion of this study that the active compounds contained in soursop leaves (*Annona muricata L.*) can affect the receptors and metabolic processes of dopamine, *norepinephrine*, and *serotonin*.

Keywords : Antidepressants; In silico; Soursop Leaves.

© 2022 Jurnal Riset Kedokteran Unisba Press. All rights reserved.

A. Pendahuluan

Depresi merupakan gangguan mental umum yang muncul dengan suasana hati yang tertekan, kehilangan minat atau kesenangan, perasaan bersalah atau harga diri rendah, gangguan tidur, gangguan nafsu makan, mudah lelah, berkurangnya aktivitas dan konsentrasi yang buruk. Selain itu, depresi sering kali disertai dengan gejala kecemasan. Gejala-gejala ini dapat menjadi kronis atau berulang dan menyebabkan gangguan substansial dalam kemampuan individu untuk mengurus tanggung jawabnya sehari-hari, bahkan dapat menyebabkan bunuh diri.[1]–[4]

World Health Organization (WHO) mengatakan antara tahun 2005 dan 2015 terjadi peningkatan jumlah penderita depresi sebesar 18,4%. Terdapat 322 juta orang penderita depresi di dunia pada tahun 2015. Amerika Serikat menduduki peringkat pertama dengan 17.491.047 orang penderita depresi atau 5,9% dari total populasi penduduk, sedangkan di Indonesia terdapat 9.162.886 penderita depresi yang merupakan 3,7% dari total populasi penduduk Indonesia pada tahun 2015.[2]

Secara umum depresi dipengaruhi faktor psikososial, seperti pada anak kembar, orang dengan riwayat penyakit kronis, status pernikahan (percerayaan), pekerjaan (menganggur atau naik jabatan), hubungan dengan pasangan, tingkat percaya diri yang rendah, dukungan sosial yang buruk, kelas sosial rendah serta adanya komorbiditas dengan masalah kejiwaan lainnya seperti penyalahgunaan alkohol dan gangguan kecemasan dapat membuat perubahan *neurotransmiter*.[5]

Penurunan fungsi atau jumlah *neurotransmiter monoamin* dapat menjadi penyebab utama dari depresi. *Monoamin* merupakan *neurotransmiter* yang terdapat di dalam otak, sekitar tiga puluh *neurotransmiter* telah diketahui dan tiga di antaranya dapat memengaruhi terjadinya depresi, yaitu *serotonin*, *norepinefrin*, dan *dopamin*. Ketiga *neurotransmiter* tersebut berperan dalam mengatur emosi, reaksi terhadap stres, tidur, dan nafsu makan.[6], [7]

Obat-obatan antidepresan bekerja untuk menormalkan *neurotransmiter* dalam otak dengan memengaruhi suasana hati, terutama *serotonin*, *norepinefrin*, dan *dopamin*. Berdasarkan atas mekanismennya, obat antidepresan digolongkan menjadi *Selective Serotonin Reuptake Inhibitors* (SSRIs), *Serotonine-Norepinephrine Reuptake Inhibitors* (SNRIs), *Monoamine Oxidase Inhibitors* (MAOIs), dan *Tricyclic Antidepressants* (TCAs). Obat antidepresan yang paling populer yaitu *Selective Serotonin Reuptake Inhibitor* (SSRIs). Obat-obatan ini dapat meningkatkan *serotonin* dengan menghambat ambilan kembali (*reuptake*) *serotonin*. *Serotonin and Norepinefrin Reuptake Inhibitor* (SNRI) mirip dengan SSRI, tetapi SNRI bekerja dengan menghentikan *reuptake norepinefrin* dan *serotonin*. *Monoamine Oxidase Inhibitors* bekerja dengan cara menghambat *monoamin oksidase* yang mengakatalisasi *norepinefrin*, *serotonin*. Sedangkan, *trisklik* bekerja dengan menghambat *reuptake* dari *norepinefrin*, *serotonin* dan *dopamin*.[8]–[10]

Masyarakat secara empirik mengenal pengobatan depresi dengan pengobatan herbal. Obat-obatan herbal bekerja melalui sensitiasi reseptor *serotonin* atau menghambat *monoamin oksidase*. Tanaman herbal yang secara empirik telah digunakan untuk mengatasi depresi adalah ginseng, rhodiola rosea, dan lemon balm. Ginseng telah sering digunakan selama berabad-abad dalam pengobatan tradisional di Tiongkok untuk memperbaiki mood dengan cara meningkatkan kadar norepinfrin (NE) dan *serotonin* (5-HT) di otak, lalu ada Rhodiola rosea dapat meningkatkan level 5-HT di hipokampus dan lemon balm yang dapat meningkatkan neurotransmisi *norepinefrin*.[11], [12]

Proses penemuan obat memerlukan identifikasi target obat yang tepat seperti asam deoksiribonukleat (DNA), asam ribonukleat (RNA), dan protein yang meliputi reseptor, transporter, enzim, dan kanal ion. Validasi target diperlukan untuk menunjukkan tingkat integritas yang cukup dan untuk mengetahui relevansi farmakologis dengan penyakit yang sedang diselidiki, biasanya pada proses ini dilakukan pada pengujian seluler dan molekular pada hewan. Bila senyawa target sudah divalidasi memiliki efek seperti *inhibitor*, modulator ataupun agonis selanjutnya dilakukan lead identification untuk mendesain, mengembangkan, dan mengetahui efeknya. Selanjutnya, pengujian dilakukan pada model hewan di laboratorium. Meskipun sebagian besar proses tergantung pada penelitian eksperimental, namun pendekatan *in silico* dapat menjadi solusi pada etik dan biaya setiap penemuan tahapan obat. [13]

Penelitian *in silico* merupakan penelitian yang menggunakan simulasi dengan bantuan komputer yang dilengkapi dengan beberapa perangkat lunak (software) tertentu yang dapat digunakan untuk studi prediksi interaksi obat dalam tubuh dan atau patogen.[14]

Penelitian ini bertujuan untuk mengeksplorasi senyawa aktif daun sirsak (*Annona muricata L.*), efektivitas, dan mekanismenya sebagai obat antidepresan dengan pendekatan *in silico*.

B. Metode Penelitian

Penelitian ini merupakan penelitian studi analisis komputasi untuk menganalisis dan menginterpretasikan protein target senyawa aktif yang terkandung dalam daun sirsak dengan protein yang berperan sebagai antidepresan dengan pendekatan *in silico*.

Bahan penelitian yang digunakan adalah struktur *Canonical SMILE* senyawa aktif daun sirsak dan obat antidepresan yang diperoleh dari *Pubchem*.

Perangkat keras yang digunakan berupa laptop Asus GL553VD dengan spesifikasi RAM (*Random Access Memory*) 8192 megabyte, prosesor (Intel Core i7-7700HQ CPU 2.8GHz, GPU (*Graphic Processing Unit*) NVIDIA GeForce GTX 1050, dan sistem operasi *Microsoft Windows 10* 64-bit. Selain perangkat keras, penelitian ini juga menggunakan *website PubChem*, *SwissTargetPrediction*, dan *STRING*.

Penelitian ini diawali dengan pencarian senyawa aktif daun sirsak yang diperoleh dari jurnal yang telah dipublikasi. Setelah menemukan senyawa aktif, tahap selanjutnya adalah mencari *Canonical SMILE* dari senyawa aktif daun sirsak (*Annona muricata L.*) dan obat antidepresan. *Canonical SMILE* tersebut diperoleh dari *data base PubChem* dengan menuliskan kata kunci senyawa aktif yang telah ditemukan.

Senyawa aktif daun sirsak dan obat-obatan antidepresan yang telah diketahui struktur *Canonical SMILE*-nya kemudian dapat diprediksikan protein targetnya dan probabilitas dari potensi senyawa aktif tersebut pada *website SwissTargetPrediction*. Selanjutnya dilakukan seleksi untuk mengetahui kesamaan protein target yang dimiliki senyawa aktif daun sirsak dengan protein target obat antidepresan untuk mempermudah pengolahan data.

Protein target senyawa aktif daun sirsak yang memiliki kesamaan dengan protein target obat antidepresan, di-input ke dalam *website STRING* untuk dilakukan prediksi interaksi antar protein target. Kemudian dianalisis protein-protein target yang terlibat melalui studi literatur terkait protein yang bertanggung jawab dalam mekanisme depresi.

C. Hasil dan Pembahasan

Pencarian Senyawa Aktif Daun Sirsak

Hasil penelusuran literatur terdapat 129 senyawa aktif yang terkandung dalam daun sirsak. Senyawa aktif ini diperoleh dari hasil penelitian Moghadamtousi dan Coria-Téllez dapat dilihat pada Tabel 1.

Tabel 1. Senyawa Aktif Daun Sirsak

| No. | Senyawa Aktif |
|-----|---|
| 1. | (+)-epiloliolide |
| 2. | (1S,2S,4R)-trans-2-hydroxy-1,8-cineole β -D-glucopyranoside |
| 3. | (2,4-cis)-10R-annonacin-A-one |
| 4. | (2,4-cis)-isoannonacin |
| 5. | (2,4-trans)-10R-annonacin-A-one |
| 6. | (2,4-trans)-isoannonacin |
| 7. | (R)-4'-O-methylcoclaurine |
| 8. | (R)-O,O-dimethylcoclaurine |

| No. | Senyawa Aktif |
|-----|---|
| 9. | <i>(S)-norcorydine</i> |
| 10. | <i>(Z)-3-hexenyl β-Dglucopyranoside</i> |
| 11. | <i>Annocatacin B</i> |
| 12. | <i>Annocatalin</i> |
| 13. | <i>Annohexocin</i> |
| 14. | <i>Annoionol A</i> |
| 15. | <i>Annoionol B</i> |
| 16. | <i>Annoionol C</i> |
| 17. | <i>Annoionoside</i> |
| 18. | <i>Annomontacin</i> |
| 19. | <i>Annomuricin</i> |
| 20. | <i>Annomuricin A</i> |
| 21. | <i>Annomuricin B</i> |
| 22. | <i>Annomuricin C</i> |
| 23. | <i>Annomuricin E</i> |
| 24. | <i>Annomutacin</i> |
| 25. | <i>Annonacin</i> |
| 26. | <i>Annonacin A</i> |
| 27. | <i>Annonacin-10-one</i> |
| 28. | <i>Annonacinone</i> |
| 29. | <i>Annonamine</i> |
| 30. | <i>Annopentocin A</i> |
| 31. | <i>Annopentocin B</i> |
| 32. | <i>Annopentocin C</i> |
| 33. | <i>Anomuricine</i> |
| 34. | <i>Anomurine</i> |
| 35. | <i>Anonaine</i> |
| 36. | <i>Apigenin-6-C-glucoside</i> |
| 37. | <i>Argentinine</i> |
| 38. | <i>Asimicinone-9-oxo</i> |
| 39. | <i>Asimilobine</i> |

| No. | Senyawa Aktif |
|-----|---|
| 40. | <i>Atherosperminine</i> |
| 41. | <i>blumenol C</i> |
| 42. | <i>Catechin</i> |
| 43. | <i>Chlorogenic acid</i> |
| 44. | <i>Cinnamic acid</i> |
| 45. | <i>Cis, trans, Annomuricin-D-one</i> |
| 46. | <i>cis-annomuricin-D-one</i> |
| 47. | <i>Cis-corosolone</i> |
| 48. | <i>Cis-solamin</i> |
| 49. | <i>Cis-solamin A</i> |
| 50. | <i>Citroside A</i> |
| 51. | <i>Coclaurine</i> |
| 52. | <i>Coreximine</i> |
| 53. | <i>Corossolin</i> |
| 54. | <i>Coumarid acid</i> |
| 55. | <i>Daidzein</i> |
| 56. | <i>Dicaffeoylquinic acid</i> |
| 57. | <i>DMDP</i> (2,5-Dihydroxymethyl-3,4, dihydroxypyrrrolidine) |
| 58. | <i>DMJ</i> (Deoxymannojirimycin) |
| 59. | <i>DNJ</i> (Deoxynojirimycin) |
| 60. | <i>Emodin</i> |
| 61. | <i>Epicatechin</i> |
| 62. | <i>Feruloylquinic acid</i> |
| 63. | <i>Gallic acid</i> |
| 64. | <i>Genistein</i> |
| 65. | <i>Gentisic acid</i> |
| 66. | <i>Gigantecin</i> |
| 67. | <i>gigantetrocin A</i> |
| 68. | <i>Gigantetronenin</i> |
| 69. | <i>Glycitein</i> |
| 70. | <i>Goniothalamicin</i> |

| No. | Senyawa Aktif |
|------|--|
| 71. | <i>Homoorientin</i> |
| 72. | <i>Isoannonacin</i> |
| 73. | <i>Isoboldine</i> |
| 74. | <i>Isoferulic acid</i> |
| 75. | <i>Isolaureline</i> |
| 76. | <i>Kaempferol</i> |
| 77. | <i>Kaempferol 3-O-robinobioside</i> |
| 78. | <i>Kaempferol 3-O-rutinoside</i> |
| 79. | <i>Kaempferol 3-O-rutinoside</i> |
| 80. | <i>Kaempferol</i> 3- β -D-(2''-O- β -Dglucopyranosyl, 6''-O- α -Lrhamnopyranosyl) glucopyranoside |
| 81. | <i>Liriodenine</i> |
| 82. | <i>Loliolide</i> |
| 83. | <i>Luteolin 3,7-di-O-glucoside</i> |
| 84. | <i>Montanacin</i> |
| 85. | <i>Montanacin D</i> |
| 86. | <i>Montanacin E</i> |
| 87. | <i>Montanacin H</i> |
| 88. | <i>Muricapentocin</i> |
| 89. | <i>Muricatalicin</i> |
| 90. | <i>Muricatalin</i> |
| 91. | <i>Muricatocin A</i> |
| 92. | <i>Muricatocin B</i> |
| 93. | <i>Muricatocin C</i> |
| 94. | <i>Muricin H</i> |
| 95. | <i>Muricin I</i> |
| 96. | <i>Muricoreacin</i> |
| 97. | <i>Muricoreacin A</i> |
| 98. | <i>Muricoreacin B</i> |
| 99. | <i>Murihexocin</i> |
| 100. | <i>Murihexocin A</i> |
| 101. | <i>Murihexocin B</i> |

| No. | Senyawa Aktif |
|------|---------------------------------------|
| 102. | <i>Murihexocin C</i> |
| 103. | <i>N-methylcoclaurine</i> |
| 104. | <i>N-methylcoculaurine</i> |
| 105. | <i>N-p-coumaroyl tyramine</i> |
| 106. | <i>Quercetin</i> |
| 107. | <i>Quercetin 3-O-a-rhamnosyl</i> |
| 108. | <i>Quercetin 3-O-glucoside</i> |
| 109. | <i>Quercetin 3-O-neohesperidoside</i> |
| 110. | <i>Quercetin 3-O-robinoside</i> |
| 111. | <i>Quercetin -O-rutinoside</i> |
| 112. | <i>Remerine</i> |
| 113. | <i>Reticuline</i> |
| 114. | <i>Robinetin</i> |
| 115. | <i>Roseoside</i> |
| 116. | <i>Rutin</i> |
| 117. | <i>Solamin</i> |
| 118. | <i>Stepharine</i> |
| 119. | <i>Swainsonine</i> |
| 120. | <i>Tangeretin</i> |
| 121. | <i>Taxifolin</i> |
| 122. | <i>trans-annomuricin-D-one</i> |
| 123. | <i>Turpinionoside A</i> |
| 124. | <i>Vitamin A</i> |
| 125. | <i>Vitamin C</i> |
| 126. | <i>Vitamin E</i> |
| 127. | <i>Vitexin</i> |
| 128. | <i>Vomifoliol</i> |
| 129. | <i>Xylopine</i> |

Pencarian Canonical SMILE Senyawa Aktif dalam Daun Sirsak

Canonical SMILE (Simplified Molecular-Input Line-Entry System) adalah notasi kimia yang memungkinkan untuk merepresentasikan struktur kimia tanpa informasi isotop dan stereokimia dengan cara yang dapat digunakan oleh komputer. Pencarian ini dilakukan pada *data base Pubchem* dengan memasukan nama

senyawa aktif pada kolom pencarian. Berdasarkan hasil pencarian *Canonical SMILE*, dari 129 senyawa aktif daun sirsak 31 diantaranya tidak ditemukan *Canonical SMILE*-nya pada *PubChem* yang kemudian ditandai dengan simbol “-” pada Tabel 2.

Tabel 2. Struktur *Canonical SMILE* Senyawa Aktif Daun Sirsak

| No. | Senyawa Aktif | Canonical SMILE |
|-----|--|--|
| 1. | (+)- <i>epiloliolide</i> | CC1(CC(CC2(C1=CC(=O)O)O2)C)O)C |
| 2. | (1 <i>S</i> ,2 <i>S</i> ,4 <i>R</i>)- <i>trans-2-hydroxy-1,8-cineole β-D-glucopyranoside</i> | - |
| 3. | (2,4- <i>cis</i>)-10 <i>R</i> - <i>annonacin-A-one</i> | - |
| 4. | (2,4- <i>cis</i>)- <i>isoannonacin</i> | - |
| 5. | (2,4- <i>trans</i>)- 10 <i>R</i> - <i>annonacin-A-one</i> | - |
| 6. | (2,4- <i>trans</i>)- <i>isoannonacin</i> | - |
| 7. | (<i>R</i>)-4'- <i>O-methylclaurine</i> | - |
| 8. | (<i>R</i>)- <i>O,O-dimethylclaurine</i> | - |
| 9. | (<i>S</i>)- <i>norcorydine</i> | - |
| 10. | (<i>Z</i>)-3- <i>hexenyl β-Dglucopyranoside</i> | - |
| 11. | <i>Annocatacin B</i> | - |
| 12. | <i>Annocatalin</i> | CCCC(C(CCCCCC(C1CC(C(O1)CCCCCCCC(C2=CC(OC2=O)C)O)O)O)O) |
| 13. | <i>Annohexocin</i> | CCCCCCCCCCCC(C1CCC(O1)C(CCC(CC(CC(CCC(C2=CC(OC2=O)C)O)O)O)O)O) |
| 14. | <i>Annoionol A</i> | CC1C(C(CC(C1O)O)(C)C)CC(C)O |
| 15. | <i>Annoionol B</i> | CC1C(C(CC(C1(C=CC(C)O)O)(C)C)O)O |
| 16. | <i>Annoionol C</i> | - |
| 17. | <i>Annoionoside</i> | CC1C(C(CC(C1(C=CC(C)O)O)(C)C)O)OC2C(C(C(C(O2)CO)O)O)O |
| 18. | <i>Annomontacin</i> | CCCCCCCCCCCC(C1CCC(O1)C(CCCCCC(CCCCC(C2=CC(OC2=O)C)O)O)O) |

| No. | Senyawa Aktif | Canonical SMILE |
|-----|-------------------------------|---|
| 19. | <i>Annomuricin</i> | - |
| 20. | <i>Annomuricin A</i> | CCCCCCCCCC(C1CCC(O1)C(CCCC(C(CCCCCC(CC2=CC(OC2=O)C)O)O)O)O |
| 21. | <i>Annomuricin B</i> | CCCCCCCCCC(C1CCC(O1)C(CCCC(C(CCCCCC(CC2=CC(OC2=O)C)O)O)O)O |
| 22. | <i>Annomuricin C</i> | CCCCCCCCCC(C1CCC(O1)C(CCCC(C(CCCCCC(CC2=CC(OC2=O)C)O)O)O)O |
| 23. | <i>Annomuricin E</i> | CCCCCCCCCC(C1CCC(O1)C(CCCC(C(CCCCCC(CC2=CC(OC2=O)C)O)O)O)O |
| 24. | <i>Annomutacin</i> | CCCCCCCCCC(C1CCC(O1)C(CCCCCC(CC2=CC(OC2=O)C)O)O)O)O |
| 25. | <i>Annonacin</i> | CCCCCCCCCC(C1CCC(O1)C(CCCC(C(CCCCCC(CC2=CC(OC2=O)C)O)O)O)O |
| 26. | <i>Annonacin A</i> | CCCCCCCCCC(C1CCC(O1)C(CCCC(C(CCCCCC(CC2=CC(OC2=O)C)O)O)O)O |
| 27. | <i>Annonacin-10-one</i> | CCCCCCCCCC(C1CCC(O1)C(CCCC(=O)CCCC(C(C2=CC(OC2=O)C)O)O)O |
| 28. | <i>Annonacinone</i> | CCCCCCCCCC(C1CCC(O1)C(CCCC(=O)CCCC(C(C2=CC(OC2=O)C)O)O)O |
| 29. | <i>Annonamine</i> | C[N+]1(CCC2=CC(=C(C3=C2C1CC4=CC=CC=C4)OC)O)C |
| 30. | <i>Annopentocin A</i> | CCCCCCCCCC(C(CCC(C1CCC(O1)CC(CCCCCC(CC2=CC(OC2=O)C)O)O)O)O |
| 31. | <i>Annopentocin B</i> | CCCCCCCCCC(C(CCC(C1CCC(O1)CC(CCCCCC(CC2=CC(OC2=O)C)O)O)O)O |
| 32. | <i>Annopentocin C</i> | CCCCCCCCCC(C(CCC(C1CCC(O1)CC(CCCCCC(CC2=CC(OC2=O)C)O)O)O)O |
| 33. | <i>Anomuricine</i> | - |
| 34. | <i>Anomurine</i> | COC1=CC=C(C=C1)CC2C3=C(C(=C(C=C3CCN2)OC)OC)OC |
| 35. | <i>Anonaine</i> | C1CNC2CC3=CC=CC=C3C4=C2C1=CC5=C4OCO5 |
| 36. | <i>Apigenin-6-C-glucoside</i> | C1=CC(=CC=C1C2=CC(=O)C3=C(O2)C=C(C(=C3O)C4C(C(C(C(O4)CO)O)O)O)O)O |
| 37. | <i>Argentinine</i> | CN(C)CCC1=CC(=C(C2=C1C=CC3=CC=CC=C3)OC)O |
| 38. | <i>Asimicinone-9-oxo</i> | - |
| 39. | <i>Asimilobine</i> | COC1=C(C=C2CCNC3C2=C1C4=CC=CC=C4C3)O |
| 40. | <i>Atherosperminine</i> | CN(C)CCC1=CC(=C(C2=C1C=CC3=CC=CC=C3)OC)OC |

| No. | Senyawa Aktif | Canonical SMILE |
|-----|--|--|
| 41. | <i>Blumenol C</i> | CC1=CC(=O)CC(C1CCC(C)O)(C)C |
| 42. | <i>Catechin</i> | C1C(C(OC2=CC(=CC(=C21)O)O)C3=CC(=C(C=C3)O)O)O |
| 43. | <i>Chlorogenic acid</i> | C1C(C(C(CC1(C(=O)O)O)OC(=O)C=CC2=CC(=C(C=C2)O)O)O)O |
| 44. | <i>Cinnamic acid</i> | C1=CC=C(C=C1)C=CC(=O)O |
| 45. | <i>cis, trans, Annomuricin-D-one</i> | - |
| 46. | <i>cis-annomuricin-D-one</i> | - |
| 47. | <i>cis-corossolone</i> | CCCCCCCCCC(C1CCC(O1)C(CCCCC(=O)CCCCCCC C2=CC(OC2=O)C)O)O |
| 48. | <i>cis-solamin</i> | CCCCCCCCCC(C1CCC(O1)C(CCCCCC(CCCCCC2=C(OC2=O)C)O)O) |
| 49. | <i>cis-solamin A</i> | CCCCCCCCCC(C1CCC(O1)C(CCCCCC(CCCCCC2=C(OC2=O)C)O)O) |
| 50. | <i>Citroside A</i> | CC(=O)C=C=C1C(CC(CC1(C)OC2C(C(C(C(O2)CO)O)O)O)O)(C)C |
| 51. | <i>Coclaurine</i> | COC1=C(C=C2C(NCCC2=C1)CC3=CC=C(C=C3)O)O |
| 52. | <i>Coreximine</i> | COCl=C(C=C2C3CC4=CC(=C(C=C4CN3CCC2=C1)OC)O)O |
| 53. | <i>Corossolin</i> | CCCCCCCCCC(C1CCC(O1)C(CCCCC(CCCCCCCC2=CC(OC2=O)C)O)O)O |
| 54. | <i>Coumarid acid</i> | - |
| 55. | <i>Daidzein</i> | C1=CC(=CC=C1C2=COCC3=C(C2=O)C=CC(=C3)O)O |
| 56. | <i>Dicaffeoylquinic acid</i> | C1C(C(C(CC1(C(=O)O)OC(=O)C=CC2=CC(=C(C=C2)O)O)O)OC(=O)C=CC3=CC(=C(C=C3)O)O)O |
| 57. | <i>DMDP (2,5-Dihydroxymethyl-3,4-dihydroxypyrrolidine)</i> | C(C1C(C(C(N1)CO)O)O)O |
| 58. | <i>DMJ (Deoxymannojirimycin)</i> | C1C(C(C(C(N1)CO)O)O)O |
| 59. | <i>DNJ (Deoxynojirimycin)</i> | C1C(C(C(C(N1)CO)O)O)O |
| 60. | <i>Emodin</i> | CC1=CC2=C(C(=C1)O)C(=O)C3=C(C2=O)C=C(C=C3)O |
| 61. | <i>Epicatechin</i> | C1C(C(OC2=CC(=CC(=C21)O)O)C3=CC(=C(C=C3)O)O)O |

| No. | Senyawa Aktif | Canonical SMILE |
|-----|---|--|
| 62. | <i>Feruloylquinic acid</i> | COC1=C(C=CC(=C1)C=CC(=O)OC2CC(CC(C2O)O)(C(=O)O)O |
| 63. | <i>Gallic acid</i> | C1=C(C=C(C(=C1O)O)O)C(=O)O |
| 64. | <i>Genistein</i> | C1=CC(=CC=C1C2=COC3=C C(=CC(=C3C2=O)O)O)O |
| 65. | <i>Gentisic acid</i> | C1=CC(=C(C=C1O)C(=O)O)O |
| 66. | <i>Gigantecin</i> | CCCCCCCCCC(C1CCC(O1)C(CCC(C2CCC(O2)CCCC CC(CC3=CC(OC3=O)C)O)O)O |
| 67. | <i>Gigantetrocin A</i> | CCCCCCCCCCCC(C(CCC(C1CCC(O1)CCCC(C2=CC(OC2=O)C)O)O)O |
| 68. | <i>Gigantetronen in</i> | CCCCCCCCCCCC=CCCC(C(CCC(C1CCC(O1)CCCC(C(C2=CC(OC2=O)C)O)O)O |
| 69. | <i>Glycitein</i> | COC1=C(C=C2C(=C1)C(=O)C(=CO2)C3=CC=C(C=C3)O)O |
| 70. | <i>Goniothalamycin</i> | CCCCCCCCCCCC(C1CC(C(O1)C(CCC(CCCCC(C2=CC(OC2=O)C)O)O)O |
| 71. | <i>Homoorientin</i> | C1=CC(=C(C=C1C2=CC(=O)C3=C(O2)C=C(C(=C3O)C4C(C(C(C(O4)CO)O)O)O)O)O |
| 72. | <i>Isoannonacin</i> | CCCCCCCCCCCC(C1CCC(O1)C(CCCCC(CCCCC2CC(C(=O)O2)CC(=O)C)O)O)O |
| 73. | <i>Isoboldine</i> | CN1CCCC2=CC(=C(C3=C2C1C4=CC(=C(C=C43)OC)O)O)O |
| 74. | <i>Isoferulic acid</i> | COC1=C(C=C(C=C1)C=CC(=O)O)O |
| 75. | <i>Isolaureline</i> | CN1CCC2=CC3=C(C4=C2C1CC5=C4C=CC(=C5)OC)OCO3 |
| 76. | <i>Kaempferol</i> | C1=CC(=CC=C1C2=C(C(=O)C3=C(C=C3O2)O)O)O |
| 77. | <i>Kaempferol 3-O-robinobioside</i> | - |
| 78. | <i>Kaempferol 3-O-rutinoside</i> | - |
| 79. | <i>Kaempferol 3-O-rutinoside</i> | - |
| 80. | <i>Kaempferol 3-O-β-D-(2''-O-β-Dglucopyranosyl, 6''-O-α-Lrhamnopyranosyl)</i> | - |
| 81. | <i>Liriiodenine</i> | C1OC2=C(O1)C3=C4C(=C2)C=CN=C4C(=O)C5=CC=CC=C |

| No. | Senyawa Aktif | Canonical SMILE |
|------|-------------------------------------|--|
| 82. | <i>Loliolide</i> | CC1(CC(CC2(C1=CC(=O)O2)C)O)C |
| 83. | <i>Luteolin 3'-7-di-O-glucoside</i> | C1=CC(=C(C=C1C2=CC(=O)C3=C(C=C(C=C3O2)OC4C(C(C(O4)CO)O)O)O)OC5C(C(C(C(O5)CO)O)O)O) |
| 84. | <i>Montanacin</i> | - |
| 85. | <i>Montanacin D</i> | - |
| 86. | <i>Montanacin E</i> | - |
| 87. | <i>Montanacin H</i> | - |
| 88. | <i>Muricapentocin n</i> | CCCCCCCCCC(C1CCC(O1)C(CCC(CCCC(CCC(CC2=CC(OC2=O)C)O)O)O)O |
| 89. | <i>Muricatalicin</i> | CCCCCCCCCC(C1CCC(O1)C(CC(CCCCC(CCC(CC2=CC(OC2=O)C)O)O)O)O |
| 90. | <i>Muricatalin</i> | - |
| 91. | <i>Muricatocin A</i> | CCCCCCCCCC(C1CCC(O1)C(CCC(CC(CCCCC(CCC(CC2=CC(OC2=O)C)O)O)O)O |
| 92. | <i>Muricatocin B</i> | CCCCCCCCCC(C1CCC(O1)C(CCC(CC(CCCCC(CCC(CC2=CC(OC2=O)C)O)O)O)O |
| 93. | <i>Muricatocin C</i> | CCCCCCCCCC(C1CCC(O1)C(CCC(CC(CCCCC(CCC(CC2=CC(OC2=O)C)O)O)O)O |
| 94. | <i>Muricin H</i> | CCCCCCCC(C(CCCCC(C1CC(C(O1)CCCCCCCCCCCC2=CC(OC2=O)C)O)O)O |
| 95. | <i>Muricin I</i> | CCCCCC=CCCC(C(CCCCC(C1CCC(O1)CCCCCCCCCCCCC2=CC(OC2=O)C)O)O)O |
| 96. | <i>Muricoreacin</i> | - |
| 97. | <i>Muricoreacin A</i> | - |
| 98. | <i>Muricoreacin B</i> | - |
| 99. | <i>Murihexocin</i> | CCCCCCCCCC(C(CCC(C1CCC(O1)CCCC(C(CCC(CC2=CC(OC2=O)C)O)O)O)O)O |
| 100. | <i>Murihexocin A</i> | CCCCCCCCCC(C(CCC(C1CCC(O1)CCCC(C(CCC(CC2=CC(OC2=O)C)O)O)O)O)O |
| 101. | <i>Murihexocin B</i> | - |
| 102. | <i>Murihexocin C</i> | CCCCCCCCCC(C(CCC(C1CCC(O1)CCCC(C(CCC(CC2=CC(OC2=O)C)O)O)O)O)O |

| No. | Senyawa Aktif | Canonical SMILE |
|------|--|---|
| 103. | <i>N-methylcoclaurine</i> | CN1CCC2=CC(=C(C=C2C1C3=CC=C(C=C3)O)O)OC |
| 104. | <i>N-methylcoculaurine</i> | - |
| 105. | <i>N-p-coumaroyl tyramine</i> | C1=CC(=CC=C1CCNC(=O)C=CC2=CC=C(C=C2)O)O |
| 106. | <i>Quercetin</i> | C1=CC(=C(C=C1C2=C(C(=O)C3=C(C=C(C=C3O2)O)O)O)O)O |
| 107. | <i>Quercetin 3-O-α-rhamnosyl</i> | - |
| 108. | <i>Quercetin 3-O-glucoside</i> | C1=CC(=C(C=C1C2=C(C(=O)C3=C(C=C(C=C3O2)O)O)OC4C(C(C(C(O4)CO)O)O)O)O |
| 109. | <i>Quercetin 3-O-neohesperidoside</i> | CC1C(C(C(C(O1)OC2C(C(C(OC2OC3=C(OC4=CC(=CC(=C4C3=O)O)O)C5=CC(=C(C=C5O)O)CO)O)O)O)O |
| 110. | <i>Quercetin 3-O-robinoside</i> | CC1C(C(C(C(O1)OCC2C(C(C(C(O2)OC3=C(OC4=CC(=CC(=C4C3=O)O)OC5C(C(C(C(O5)CO)O)O)C6=CC(=C(C=C6O)O)O)O)O)O |
| 111. | <i>Quercetin -O-rutinoside</i> | CC1C(C(C(C(O1)OCC2C(C(C(C(C(O2)OC3=C(OC4=CC(=CC(=C4C3=O)O)OC5C(C(C(C(O5)CO)O)O)C6=CC(=C(C=C6O)O)O)O)O)O |
| 112. | <i>Remerine</i> | CN1CCC2=CC3=C(C4=C2C1CC5=CC=CC=C54)OCO3 |
| 113. | <i>Reticuline</i> | CN1CCC2=CC(=C(C=C2C1C3=CC(=C(C=C3)OC)O)O)OC |
| 114. | <i>Robinetin</i> | C1=CC2=C(C=C1O)OC(=C(C2=O)O)C3=CC(=C(C=C3)O)O |
| 115. | <i>Roseoside</i> | CC1=CC(=O)CC(C1(C=C(C(COC2C(C(C(C(O2)CO)O)O)O)O)O)C)C |
| 116. | <i>Rutin</i> | CC1C(C(C(C(O1)OCC2C(C(C(C(C(O2)OC3=C(OC4=CC(=CC(=C4C3=O)O)O)C5=CC(=C(C=C5)O)O)O)O)O)O)O |
| 117. | <i>Solamin</i> | CC(C)(C)CC(C)(C)C1=CC=C(C=C1)OC(OCCOCC[N+](C)(C)CC2=CC=CC=C2.[Cl-]) |
| 118. | <i>Stepharine</i> | COCl=C(C2=C3C(CC24C=CC(=O)C=C4)NCCC3=C1)OC |
| 119. | <i>Swainsonine</i> | C1CC(C2C(C(CN2C1)O)O)O |
| 120. | <i>Tangeretin</i> | COCl=CC=C(C=C1)C2=CC(=O)C3=C(O2)C(=C(C=C3OC)OC)OC |
| 121. | <i>Taxifolin</i> | C1=CC(=C(C=C1C2C(C(=O)C3=C(C=C(C=C3O2)O)O)O)O)O |

| No. | Senyawa Aktif | Canonical SMILE |
|------|--------------------------------|---|
| 122. | <i>trans-annomuricin-D-one</i> | - |
| 123. | <i>Turpinionoside A</i> | - |
| 124. | <i>Vitamin A</i> | CC1=C(C(CCC1)(C)C)C=CC(=CC=CC(=CCO)C)C |
| 125. | <i>Vitamin C</i> | C(C(C1C(=C(C(=O)O1)O)O)O)O |
| 126. | <i>Vitamin E</i> | CC1=C(C2=C(CCC(O2)(C)CC(CC(C)CCCC(C)CCCC(C)C)C(=C1O)C)C |
| 127. | <i>Vitexin</i> | C1=CC(=CC=C1C2=CC(=O)C3=C(O2)C(=C(C=C3O)O)C4C(C(C(C(O4)CO)O)O)O)O |
| 128. | <i>Vomifoliol</i> | CC1=CC(=O)CC(C1(C=CC(C(O)O)(C)C |
| 129. | <i>Xylopine</i> | COC1=CC2=C(C=C1)C3=C4C(C2)NCCC4=CC5=C3OCO5 |

Pencarian Canonical SMILE Obat Antidepresan

Selain pada senyawa aktif daun sirsak, pencarian *Canonical SMILE* dilakukan juga pada obat antidepresan. Hasil pencarian *Canonical SMILE* obat antidepresan dapat dilihat pada Tabel 3.

Tabel 3. Struktur *Canonical SMILE* Obat Antidepresan

| Golongan Obat | Jenis Obat | Canonical SMILE |
|---------------|------------------------|---|
| SSRI | <i>Citalopram</i> | CN(C)CCCC1(C2=C(CO1)C=C(C=C2)C#N)C3=CC=C(C=C3)F |
| | <i>Fluvoxamine</i> | COCCCC(=NOCCN)C1=CC=C(C=C1)C(F)(F)F |
| | <i>Paroxetine</i> | C1CNCC(C1C2=CC=C(C=C2)F)COC3=CC4=C(C=C3)OCO4 |
| | <i>Fluoxetine</i> | CNCCC(C1=CC=CC=C1)OC2=CC=C(C=C2)C(F)(F)F |
| | <i>Sertraline</i> | CNC1CCC(C2=CC=CC=C12)C3=CC(=C(C=C3)Cl)Cl |
| SNRI | <i>Venlafaxine</i> | CN(C)CC(C1=CC=C(C=C1)OC)C2(CCCCC2)O |
| | <i>Duloxetine</i> | CNCCC(C1=CC=CS1)OC2=CC=CC3=CC=CC=C32 |
| | <i>Desvenlafaxine</i> | CN(C)CC(C1=CC=C(C=C1)O)C2(CCCCC2)O |
| | <i>Milnacipran</i> | CCN(CC)C(=O)C1(CC1CN)C2=CC=CC=C2 |
| MAOI | <i>Phenelzine</i> | CCN(CC)C(=O)C1(CC1CN)C2=CC=CC=C2 |
| | <i>Tranylcypromine</i> | C1=CC=C(C=C1)CCNN |
| | <i>Selegiline</i> | C1C(C1N)C2=CC=CC=C2 |

| | | |
|-----|----------------------|-------------------------------------|
| TCA | <i>Imipramine</i> | CN(C)CCCN1C2=CC=CC=C2CCC3=CC=CC=C31 |
| | <i>Amitriptyline</i> | CN(C)CCCN1C2=CC=CC=C2CCC3=CC=CC=C31 |
| | <i>Clomipramine</i> | CN(C)CCC=C1C2=CC=C=C2CCC3=CC=CC=C31 |

Prediksi protein Target Senyawa Aktif Daun Sirsak

Prediksi protein target senyawa aktif daun sirsak yang didapatkan dari *Canonical SMILE* dilakukan pada mesin pengolahan data *SwissTargetPrediction*. Pada website ini dilakukan pemilihan protein target yang memiliki protein target yang nilai probabilitas (Pa) lebih dari 0,7. Nilai probabilitas ini menunjukkan keakuratan uji komputasi dengan hasil uji laboratorium tidak jauh berbeda. Pada Tabel 4 dapat dilihat dari 98 senyawa aktif yang dilakukan prediksi protein target, hanya 30 senyawa aktif yang memiliki protein target dengan nilai probabilitas >0,7.

Tabel 4. Prediksi Protein Target Senyawa Aktif Daun Sirsak

| No. | Senyawa Aktif | Protein Target Probabilitas >0,7 |
|-----|--------------------------|-------------------------------------|
| 1. | (+)- <i>epiloliolide</i> | - |
| 2. | <i>Annocatalin</i> | - |
| 3. | <i>Annohexocin</i> | - |
| 4. | <i>Annoionol A</i> | - |
| 5. | <i>Annoionol B</i> | - |
| 6. | <i>Annoionoside</i> | - |
| 7. | <i>Annomontacin</i> | - |
| 8. | <i>Annomuricin A</i> | - |
| 9. | <i>Annomuricin B</i> | - |
| 10. | <i>Annomuricin C</i> | - |
| 11. | <i>Annomuricin E</i> | - |
| 12. | <i>Annomutacin</i> | - |
| 13. | <i>Annonacin</i> | - |
| 14. | <i>Annonacin A</i> | - |
| 15. | <i>Annonacin-10-one</i> | - |
| 16. | <i>Annonacinone</i> | - |
| 17. | <i>Annonamine</i> | - |
| 18. | <i>Annopentocin A</i> | - |
| 19. | <i>Annopentocin B</i> | - |
| 20. | <i>Annopentocin C</i> | - |

| No. | Senyawa Aktif | Protein Target Probabilitas ≥0,7 |
|-----|---|---|
| 21. | <i>Anomuricine</i> | - |
| 22. | <i>Anomurine</i> | - |
| 23. | <i>Anonaine</i> | DRD2 SLC6A3 |
| 24. | <i>Apigenin-6-C-glucoside</i> | AKR1B1 |
| 25. | <i>Argentinine</i> | - |
| 26. | <i>Asimicinone-9-oxo</i> | - |
| 27. | <i>Asimilobine</i> | - |
| 28. | <i>Atherosperminine</i> | DRD2 |
| 29. | <i>Blumenol C</i> | - |
| 30. | <i>Catechin</i> | - |
| 31. | <i>Chlorogenic acid</i> | AKR1B1 AKR1B10 |
| 32. | <i>Cinnamic acid</i> | HCAR2 |
| 33. | <i>cis-corossolone</i> | - |
| 34. | <i>cis-solamin</i> | - |
| 35. | <i>cis-solamin A</i> | - |
| 36. | <i>Citroside A</i> | - |
| 37. | <i>Coclaurine</i> | DRD2 |
| 38. | <i>Coreximine</i> | DRD1 DRD2 |
| 39. | <i>Corossolin</i> | - |
| 40. | <i>Daidzein</i> | ALDH2 CA12 CA4 CA7 ESR1 ESR2 |
| 41. | <i>Dicaffeoylquinic acid</i> | - |
| 42. | <i>DMDP</i> (2,5-Dihydroxymethyl-3,4-dihydroxypyrrolidine) | AGL FUCA1 GBA GBA2 GLA GLB1 |
| 43. | <i>DMJ</i> (Deoxymannojirimycin) | FUCA1 GAA GANAB GBA GLA MGAM |

| No. | Senyawa Aktif | Protein Target Probabilitas >0,7 |
|-----|-------------------------------|--|
| 44. | <i>DNJ (Deoxynojirimycin)</i> | SI UGCG FUCA1 GAA GANAB GBA GLA MGAM SI UGCG |
| 45. | <i>Emodin</i> | CSNK2A1 ESR1 ESR2 PIM1 PTP4A3 |
| 46. | <i>Epicatechin</i> | - |
| 47. | <i>Feruloylquinic acid</i> | - |
| 48. | <i>Gallic acid</i> | CA1 CA12 CA13 CA14 CA2 CA3 CA4 CA5A CA5B CA6 CA7 CA9 FUT7 |
| 49. | <i>Genistein</i> | ABCG2 ADORA1 ADORA2A EGFR ESR1 ESR2 ESRRRA ESRRB HSD17B1 HTR2A HTR2C MAOA MGAM TBXAS1 |
| 50. | <i>Gentisic acid</i> | CA2 CA1 CA12 CA9 |
| 51. | <i>Gigantecin</i> | - |
| 52. | <i>Gigantetrocin A</i> | - |
| 53. | <i>Gigantetronenin</i> | - |

| No. | Senyawa Aktif | Protein Target Probabilitas ≥0,7 |
|-----|------------------------------------|---|
| 54. | <i>Glycitein</i> | - |
| 55. | <i>Goniothalamicin</i> | - |
| 56. | <i>Homoorientin</i> | AKR1B1 |
| 57. | <i>Isoannonacin</i> | - |
| 58. | <i>Isoboldine</i> | HTR7 |
| 59. | <i>Isoferulic acid</i> | - |
| 60. | <i>Isolaureline</i> | SLC6A3 |
| 61. | <i>Kaempferol</i> | ABCB1 ABCC1 ABCG2 ACHE ADORA1 AHR AKR1B1 ALOX5 CA12 CA2 CA4 CA7 CYP1B1 ESRRA FLT3 HSD17B1 HSD17B2 NOX4 TYR XDH |
| 62. | <i>Liriodenine</i> | - |
| 63. | <i>Loliolide</i> | - |
| 64. | <i>Luteolin</i> 3'7-di-O-glucoside | - |
| 65. | <i>Muricapentocin</i> | - |
| 66. | <i>Muricatalicin</i> | - |
| 67. | <i>Muricatalin</i> | |
| 68. | <i>Muricatocin A</i> | - |
| 69. | <i>Muricatocin B</i> | - |
| 70. | <i>Muricatocin C</i> | - |
| 71. | <i>Muricin H</i> | - |
| 72. | <i>Muricin I</i> | - |
| 73. | <i>Murihexocin</i> | - |

| No. | Senyawa Aktif | Protein Target Probabilitas >0,7 |
|-----|-------------------------------|---|
| 74. | <i>Murihexocin A</i> | - |
| 75. | <i>Murihexocin B</i> | - |
| 76. | <i>Murihexocin C</i> | - |
| 77. | <i>N-methylcoclaurine</i> | - |
| 78. | <i>N-p-coumaroyl tyramine</i> | - |
| 79. | <i>Quercetin</i> | ABCB1 ABCC1 ABCG2 ADORA1 ADORA2A AKR1A1 AKR1B1 AKR1C1 AKR1C2 AKR1C3 AKR1C4 AKT1 ALK ALOX12 ALOX15 ALOX5 AURKB AVPR2 AXL BACE1 CA1 CA12 CA13 CA14 CA2 CA3 CA4 CA5A CA6 CA7 CA9 CAMK2B CDK1 CSNK2A1 CXCR1 CYP19A1 CYP1B1 DAPK1 DRD4 EGFR F2 FLT3 GLO1 GPR35 GSK3B HSD17B2 IGF1R |

| No. | Senyawa Aktif | Protein Target Probabilitas ≥0,7 |
|-----|--------------------------------|--|
| 80. | <i>Quercetin 3-O-glucoside</i> | KDR MAOA MET MMP13 MMP2 MMP3 MMP9 MPO NEK2 NEK6 NOX4 NUAK1 PIK3R1 PIM1 PKN1 PLA2G1B PLK1 PTK2 PYGL SRC SYK XDH |
| | | ABCB1 ABCC1 ABCG2 ADORA1 ADORA2A AKR1A1 AKR1B1 AKR1C1 AKR1C2 AKR1C3 AKR1C4 AKT1 ALK ALOX12 ALOX15 ALOX5 AURKB AVPR2 AXL BACE1 CA1 CA12 CA13 CA14 CA2 CA3 CA4 CA5A CA6 CA7 CA9 CAMK2B CDK1 CSNK2A1 |

| No. | Senyawa Aktif | Protein Target Probabilitas >0,7 |
|-----|---------------------------------------|--|
| 81. | <i>Quercetin 3-O-neohesperidoside</i> | CXCR1 CYP19A1 CYP1B1 DAPK1 DRD4 EGFR F2 FLT3 GLO1 GPR35 GSK3B HSD17B2 IGF1R KDR MAOA MET MMP13 MMP2 MMP3 MMP9 MPO NEK2 NEK6 NOX4 NUAK1 PIK3R1 PIM1 PKN1 PLA2G1B PLK1 PTK2 PYGL SRC XDH ACHE ADRA2A ADRA2C NMUR2 |
| 82. | <i>Quercetin 3-O-rutinoside</i> | - |
| 83. | <i>Remerine</i> | DRD2 SLC6A3 |
| 84. | <i>Reticuline</i> | DRD1 DRD2 |
| 85. | <i>Robinetin</i> | ABCB1 ABCC1 ABCG2 ADORA1 ADORA2A AKR1A1 AKR1B1 AKR1C1 AKR1C2 AKR1C3 AKR1C4 AKT1 |

| No. | Senyawa Aktif | Protein Target Probabilitas ≥0,7 |
|-----|---------------|-------------------------------------|
| | ALK | |
| | ALOX12 | |
| | ALOX15 | |
| | ALOX5 | |
| | AURKB | |
| | AVPR2 | |
| | AXL | |
| | BACE1 | |
| | CA1 | |
| | CA12 | |
| | CA13 | |
| | CA14 | |
| | CA2 | |
| | CA3 | |
| | CA4 | |
| | CA5A | |
| | CA6 | |
| | CA7 | |
| | CA9 | |
| | CAMK2B | |
| | CDK1 | |
| | CSNK2A1 | |
| | CXCR1 | |
| | CYP19A1 | |
| | CYP1B1 | |
| | DAPK1 | |
| | DRD4 | |
| | EGFR | |
| | F2 | |
| | FLT3 | |
| | GLO1 | |
| | GPR35 | |
| | GSK3B | |
| | HSD17B2 | |
| | IGF1R | |
| | KDR | |
| | MAOA | |
| | MET | |
| | MMP13 | |
| | MMP2 | |
| | MMP3 | |
| | MMP9 | |
| | MPO | |
| | NEK2 | |
| | NEK6 | |
| | NOX4 | |
| | NUAK1 | |
| | PIK3R1 | |
| | PIM1 | |
| | PKN1 | |
| | PLA2G1B | |
| | PLK1 | |
| | PTK2 | |
| | PYGL | |
| | SRC | |
| | XDH | |

| No. | Senyawa Aktif | Protein Target Probabilitas Pa>0,7 |
|-----|--------------------|---------------------------------------|
| 86. | <i>Roseoside</i> | - |
| 87. | <i>Rutin</i> | ACHE ADRA2A ADRA2C NMUR2 |
| 88. | <i>Solamin</i> | - |
| 89. | <i>Stepharine</i> | - |
| 90. | <i>Swainsonine</i> | - |
| 91. | <i>Tangeretin</i> | OPRD1 |
| 92. | <i>Taxifolin</i> | - |
| 93. | <i>Vitamin A</i> | - |
| 94. | <i>Vitamin C</i> | - |
| 95. | <i>Vitamin E</i> | - |
| 96. | <i>Vitexin</i> | AKR1B1 |
| 97. | <i>Vomifoliol</i> | - |
| 98. | <i>Xylopine</i> | - |

Prediksi Protein Target Obat Antidepresan

Selain dilakukan pada senyawa aktif daun sirsak, prediksi protein target juga dilakukan pada obat antidepresan. Sama dengan senyawa aktif daun sirsak, protein target yang dipilih yaitu protein target yang memiliki nilai Pa>0,7. Hasil dari prediksi dapat dilihat pada Tabel 4.

Tabel 4. Prediksi Protein Target Obat Antidepresan

| Golongan Obat | Jenis Obat | Protein Target Pa>0,7 |
|---------------|--------------------|--|
| SSRI | <i>Citalopram</i> | ADRA1A ADRA1D HRH1 HTR2B HTR2C KCNH2 SIGMAR1 SLC6A2 SLC6A3 SLC6A4 |
| | <i>Fluvoxamine</i> | SIGMAR1 SLC6A3 |
| | <i>Paroxetine</i> | CHRM1 CHRM2 CHRM3 CHRM4 CHRM5 CYP2D6 |

| Golongan Obat | Jenis Obat | Protein Target Pa>0,7 |
|---------------|-----------------------|--------------------------|
| | | KCNH2 |
| | | P2RX4 |
| | | SIGMAR1 |
| | | SLC6A2 |
| | | SLC6A3 |
| | | SLC6A4 |
| | | TACR1 |
| | <i>Fluoxetine</i> | ACHE |
| | | ADRA2A |
| | | ADRA2B |
| | | CHRM1 |
| | | CHRM3 |
| | | CHRM5 |
| | | CYP2D6 |
| | | HRH3 |
| | | HTR2A |
| | | HTR2C |
| | | HTR6 |
| | | KCNH2 |
| | | SIGMAR1 |
| | | SLC6A2 |
| | | SLC6A3 |
| | | SLC6A4 |
| | <i>Sertraline</i> | ADRA2A |
| | | ADRA2B |
| | | ADRA2C |
| | | CHRM1 |
| | | CHRM2 |
| | | CHRM4 |
| | | CHRM5 |
| | | CYP2C19 |
| | | HTR2A |
| | | HTR2B |
| | | HTR2C |
| | | KCNH2 |
| | | MC5R |
| | | SIGMAR1 |
| | | SLC6A2 |
| | | SLC6A3 |
| | | SLC6A4 |
| SNRI | <i>Venlafaxine</i> | ADRA1A |
| | | SLC6A2 |
| | | SLC6A3 |
| | | SLC6A4 |
| | <i>Duloxetine</i> | SLC6A2 |
| | | SLC6A3 |
| | | SLC6A4 |
| | <i>Desvenlafaxine</i> | ADRA1A |
| | | SLC6A2 |
| | | SLC6A4 |
| | <i>Milnacipran</i> | SLC6A2 |
| | | SLC6A3 |
| | | SLC6A4 |
| MAOI | <i>Phenelzine</i> | AOC3 |
| | | CYP2C9 |
| | | CYP2D6 |
| | | CYP3A4 |
| | | MAOA |

| Golongan Obat | Jenis Obat | Protein Target Pa>0,7 |
|---------------|------------------------|---|
| | <i>Tranylcypromine</i> | MAOB CYP2A6 KDM1A MAOA MAOB |
| | <i>Selegiline</i> | ADRA2A ADRA2B MAOA MAOB |
| TCA | <i>Imipramine</i> | ADORA3 ADRA1A CHRM5 DRD2 HRH1 HTR2A HTR2C KCNH2 SLC6A2 SLC6A3 SLC6A4 |
| | <i>Amitriptyline</i> | ADRA1A ADRA1D ADRA2A ADRA2B ADRA2C CHRM1 CHRM2 CHRM3 CHRM4 CHRM5 CYP2C19 CYP2D6 DRD1 DRD2 DRD3 DRD5 HRH1 HRH2 HTR1B HTR2A HTR2B HTR2C HTR6 RET SCN2A SCN5A SCN9A SIGMAR1 SLC6A2 SLC6A3 SLC6A4 |
| | <i>Clomipramine</i> | ADRA1A ADRA1D ADRA2A ADRA2B ADRA2C CHRM1 CHRM2 |

| Golongan Obat | Jenis Obat | Protein Target Pa>0,7 |
|---------------|------------|--------------------------|
| | | CHRM3 |
| | | CHRM4 |
| | | CHRM5 |
| | | CYP2D6 |
| | | DRD1 |
| | | DRD2 |
| | | DRD3 |
| | | HRH1 |
| | | HRH2 |
| | | HTR2A |
| | | HTR2B |
| | | HTR2C |
| | | HTR6 |
| | | SIGMAR1 |
| | | SLC6A2 |
| | | SLC6A3 |
| | | SLC6A4 |

Analisis Kesamaan Protein Target Zat Aktif Daun Sirsak dengan Obat Antidepresan

Setelah itu dilakukan seleksi senyawa aktif daun sirsak yang memiliki kesamaan protein target dengan obat anti depresan dengan nilai Pa>0,7. Hasilnya, terdapat 13 dari 30 senyawa aktif yang memiliki kesamaan protein target dengan obat antidepresan. senyawa tersebut antara lain *anonaine*, *atherosperminine*, *coclaurine*, *coreximine*, *genistein*, *isolaureline*, *quercetin*, *quercetin 3-o-glucoside*, *quercetin 3-o-neohesperidoside*, *remerine*, *reticuline*, *robinetin*, dan rutin. Hasil seleksi dapat dilihat pada Tabel 5.

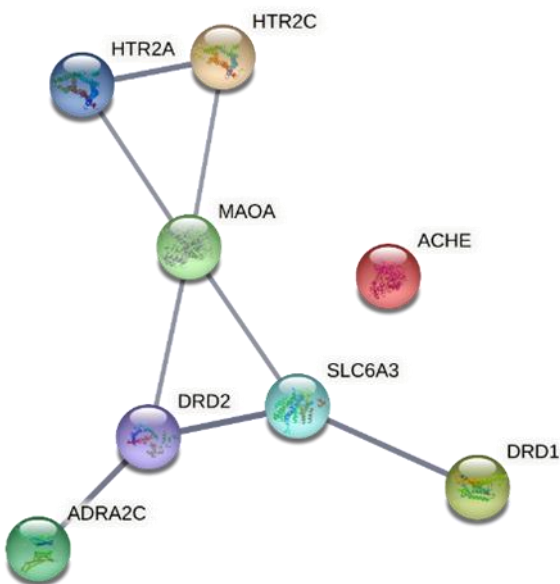
Tabel 5. Senyawa Aktif Daun Sirsak Yang Memiliki Kesamaan Protein Target dengan Obat Antidepresan

| No. | Senyawa Aktif | Protein Target Pa>0,7 |
|-----|---------------------------------------|--------------------------|
| 1. | <i>Anonaine</i> | SLC6A3 DRD2 |
| 2. | <i>Atherosperminine</i> | DRD2 |
| 3. | <i>Coclaurine</i> | DRD2 |
| 4. | <i>Coreximine</i> | DRD1 DRD2 |
| 5. | <i>Genistein</i> | HTR2A HTR2C MAOA |
| 6. | <i>Isolaureline</i> | SLC6A3 |
| 7. | <i>Quercetin</i> | MAOA |
| 8. | <i>Quercetin 3-O-glucoside</i> | MAOA |
| 9. | <i>Quercetin 3-O-neohesperidoside</i> | ACHE ADRA2C |
| 10. | <i>Remerine</i> | DRD2 SLC6A3 |
| 11. | <i>Reticuline</i> | DRD1 DRD2 |
| 12. | <i>Robinetin</i> | MAOA |
| 13. | <i>Rutin</i> | ACHE ADRA2C |

Analisis Interaksi antar Protein Target Menggunakan STRING

Pada analisis yang dilakukan menggunakan STRING, dari 13 senyawa aktif daun sirsak yang memiliki target protein yang sama dengan target protein obat antidepresan dengan Pa>0,7 didapatkan delapan protein target.

Delapan protein target yang diperoleh di-input ke dalam mesin pengolahan data, hasil yang didapatkan dapat dilihat pada Tabel 6. Lalu, kolom analysis diurutkan berdasarkan *False Discovery Rate* (FDR). Interaksi antar protein target dapat dilihat pada Gambar 1.



Gambar 1. Interaksi Target Protein Target yang Telah Di-Input ke Dalam *STRING*

Keterangan:

Ketebalan dari garis penghubung menunjukkan penguatan dari data

| | |
|--------|--|
| ACHE | : <i>acetylcholinesterase</i> |
| ADRA2C | : <i>Alpha-2C adrenergic receptor</i> |
| DRD1 | : D(1A) dopamine receptor |
| DRD2 | : D (2) dopamine receptor |
| HTR2A | : <i>5-hydroxytryptamine receptor 2A</i> |
| HTR2C | : <i>5-hydroxytryptamine receptor 2C</i> |
| MAOA | : <i>Monoamine oxidase A</i> |
| SLC6A3 | : <i>Sodium-dependent dopamine transporter</i> |

Selanjutnya delapan protein target dianalisis keterlibatannya pada proses biologis menggunakan *STRING*. Hasil analisis dapat dilihat pada Tabel 6.

Tabel 6. Proses Biologis yang Melibatkan Protein Target

| No. | Proses Biologis | FDR |
|-----|---|----------|
| 1 | <i>Dopamine metabolic process</i> | 3.53e-07 |
| 2 | <i>Chemical synaptic transmission</i> | 9.99e-07 |
| 3 | <i>Response to cocaine</i> | 9.99e-07 |
| 4 | <i>Negative regulation of synaptic transmission</i> | 9.99e-07 |
| 5 | <i>Ammonium ion metabolic process</i> | 9.99e-07 |
| 6 | <i>Cell-cell signaling</i> | 1.04e-06 |
| 7 | <i>Response to anesthetic</i> | 1.26e-06 |
| 8 | <i>Regulation of amine transport</i> | 1.69e-06 |

| No. | Proses Biologis | FDR |
|-----|--|----------|
| 9 | <i>Prepulse inhibition</i> | 2.00e-06 |
| 10 | <i>Regulation of neurotransmitter levels</i> | 2.72e-06 |
| 11 | <i>Phospholipase C-activating G protein-coupled receptor signaling pathway</i> | 3.96e-06 |
| 12 | <i>Behavioral response to cocaine</i> | 4.10e-06 |
| 13 | <i>Regulation of sequestering of calcium ion</i> | 4.10e-06 |
| 14 | <i>Synaptic transmission, dopaminergic</i> | 4.24e-06 |
| 15 | <i>Response to ammonium ion</i> | 5.03e-06 |
| 16 | <i>Positive regulation of cytosolic calcium ion concentration involved in phospholipase C-activating G protein-coupled signaling pathway</i> | 1.20e-05 |
| 17 | <i>Temperature homeostasis</i> | 1.25e-05 |
| 18 | <i>Locomotory behavior</i> | 2.12e-05 |
| 19 | <i>Phospholipase C-activating serotonin receptor signaling pathway</i> | 2.99e-05 |
| 20 | <i>Behavior</i> | 2.99e-05 |
| 21 | <i>Release of sequestered calcium ion into cytosol</i> | 2.99e-05 |
| 22 | <i>Regulation of catecholamine secretion</i> | 3.12e-05 |
| 23 | <i>Smooth muscle contraction</i> | 3.39e-05 |
| 24 | <i>Regulation of biological quality</i> | 3.61e-05 |
| 25 | <i>Drug metabolic process</i> | 4.83e-05 |
| 26 | <i>Positive regulation of cytosolic calcium ion concentration</i> | 5.05e-05 |
| 27 | <i>Regulation of synaptic transmission, glutamatergic</i> | 5.05e-05 |
| 28 | <i>Response to xenobiotic stimulus</i> | 5.75e-05 |
| 29 | <i>Regulation of secretion by cell</i> | 6.17e-05 |
| 30 | <i>Synapse assembly</i> | 8.51e-05 |
| 31 | <i>Cerebral cortex gabaergic interneuron migration</i> | 8.95e-05 |
| 32 | <i>Regulation of response to drug</i> | 9.46e-05 |
| 33 | <i>Positive regulation of phosphatidylinositol biosynthetic process</i> | 0.00010 |
| 34 | <i>Neurotransmitter metabolic process</i> | 0.00010 |
| 35 | <i>Dopamine catabolic process</i> | 0.00010 |
| 36 | <i>Feeding behavior</i> | 0.00011 |
| 37 | <i>Regulation of potassium ion transport</i> | 0.00011 |

| No. | Proses Biologis | FDR |
|-----|--|---------|
| 38 | <i>Regulation of dopamine uptake involved in synaptic transmission</i> | 0.00011 |
| 39 | <i>Regulation of neurotransmitter transport</i> | 0.00011 |
| 40 | <i>Cation transport</i> | 0.00013 |
| 41 | <i>Blood circulation</i> | 0.00013 |
| 42 | <i>Memory</i> | 0.00014 |
| 43 | <i>Peristalsis</i> | 0.00014 |
| 44 | <i>Response to drug</i> | 0.00014 |
| 45 | <i>Drug catabolic process</i> | 0.00015 |
| 46 | <i>Regulation of transport</i> | 0.00015 |
| 47 | <i>Dopamine transport</i> | 0.00017 |
| 48 | <i>Negative regulation of catecholamine secretion</i> | 0.00019 |
| 49 | <i>Regulation of tube diameter</i> | 0.00019 |
| 50 | <i>Phospholipase C-activating dopamine receptor signaling pathway</i> | 0.00019 |
| 51 | <i>Grooming behavior</i> | 0.00020 |
| 52 | <i>Adenohypophysis development</i> | 0.00020 |
| 53 | <i>Negative regulation of synaptic transmission, glutamatergic</i> | 0.00020 |
| 54 | <i>Regulation of peptide secretion</i> | 0.00021 |
| 55 | <i>Regulation of blood vessel diameter</i> | 0.00021 |
| 56 | <i>Signaling</i> | 0.00023 |
| 57 | <i>Cell communication</i> | 0.00026 |
| 58 | <i>Striatum development</i> | 0.00026 |
| 59 | <i>Regulation of hormone levels</i> | 0.00029 |
| 60 | <i>Positive regulation of MAPK cascade</i> | 0.00029 |
| 61 | <i>Regulation of system process</i> | 0.00030 |
| 62 | <i>Regulation of dopamine metabolic process</i> | 0.00031 |
| 63 | <i>Neurotransmitter catabolic process</i> | 0.00033 |
| 64 | <i>Adenylate cyclase-modulating G protein-coupled receptor signaling pathway</i> | 0.00039 |
| 65 | <i>Transmembrane transport</i> | 0.00041 |
| 66 | <i>G protein-coupled receptor signaling pathway</i> | 0.00042 |
| 67 | <i>Negative regulation of cell communication</i> | 0.00042 |

| No. | Proses Biologis | FDR |
|-----|---|---------|
| 68 | <i>Negative regulation of signaling</i> | 0.00042 |
| 69 | <i>Adult walking behavior</i> | 0.00043 |
| 70 | <i>Positive regulation of ERK1 and ERK2 cascade</i> | 0.00044 |
| 71 | <i>Positive regulation of developmental process</i> | 0.00045 |
| 72 | <i>Regulation of dopamine secretion</i> | 0.00048 |
| 73 | <i>Regulation of peptide hormone secretion</i> | 0.00048 |
| 74 | <i>Inorganic cation transmembrane transport</i> | 0.00048 |
| 75 | <i>Forebrain neuron development</i> | 0.00050 |
| 76 | <i>Behavioral fear response</i> | 0.00052 |
| 77 | <i>Response to amphetamine</i> | 0.00054 |
| 78 | <i>Regulation of protein phosphorylation</i> | 0.00056 |
| 79 | <i>Response to iron ion</i> | 0.00056 |
| 80 | <i>Metal ion transport</i> | 0.00057 |
| 81 | <i>Positive regulation of multicellular organism growth</i> | 0.00058 |
| 82 | <i>Positive regulation of vasoconstriction</i> | 0.00058 |
| 83 | <i>Regulation of blood circulation</i> | 0.00070 |
| 84 | <i>Neurotransmitter biosynthetic process</i> | 0.00083 |
| 85 | <i>Visual learning</i> | 0.00092 |
| 86 | <i>Positive regulation of cell communication</i> | 0.0010 |
| 87 | <i>Positive regulation of signaling</i> | 0.0010 |
| 88 | <i>Response to nicotine</i> | 0.0010 |
| 89 | <i>Establishment of localization in cell</i> | 0.0010 |
| 90 | <i>Ammonium transport</i> | 0.0011 |
| 91 | <i>Response to bronchodilator</i> | 0.0011 |
| 92 | <i>Receptor internalization</i> | 0.0013 |
| 93 | <i>Positive regulation of cell differentiation</i> | 0.0014 |
| 94 | <i>Positive regulation of fat cell differentiation</i> | 0.0014 |
| 95 | <i>Negative regulation of hormone secretion</i> | 0.0014 |
| 96 | <i>System process</i> | 0.0016 |
| 97 | <i>Forebrain development</i> | 0.0017 |
| 98 | <i>Negative regulation of biological process</i> | 0.0019 |

| No. | Proses Biologis | FDR |
|-----|--|--------|
| 99 | <i>Regulation of cell communication</i> | 0.0023 |
| 100 | <i>Regulation of signaling</i> | 0.0024 |
| 101 | <i>Regulation of protein secretion</i> | 0.0024 |
| 102 | <i>Adenylate cyclase-activating G protein-coupled receptor signaling pathway</i> | 0.0026 |
| 103 | <i>Negative regulation of transport</i> | 0.0028 |
| 104 | <i>Response to stimulus</i> | 0.0029 |
| 105 | <i>Response to external stimulus</i> | 0.0030 |
| 106 | <i>Response to toxic substance</i> | 0.0031 |
| 107 | <i>Limbic system development</i> | 0.0032 |
| 108 | <i>Nervous system development</i> | 0.0033 |
| 109 | <i>Regulation of body fluid levels</i> | 0.0033 |
| 110 | <i>Positive regulation of biological process</i> | 0.0034 |
| 111 | <i>Regulation of neurological system process</i> | 0.0039 |
| 112 | <i>Positive regulation of protein kinase activity</i> | 0.0039 |
| 113 | <i>Nervous system process</i> | 0.0042 |
| 114 | <i>Response to wounding</i> | 0.0045 |
| 115 | <i>Regulation of response to stimulus</i> | 0.0047 |
| 116 | <i>Positive regulation of synaptic transmission</i> | 0.0047 |
| 117 | <i>Response to ethanol</i> | 0.0052 |
| 118 | <i>Negative regulation of ion transport</i> | 0.0058 |
| 119 | <i>Import into cell</i> | 0.0059 |
| 120 | <i>Regulation of calcium ion transmembrane transport</i> | 0.0060 |
| 121 | <i>Transport</i> | 0.0063 |
| 122 | <i>Regulation of cellular metabolic process</i> | 0.0063 |
| 123 | <i>Drug transport</i> | 0.0065 |
| 124 | <i>Response to chemical</i> | 0.0065 |
| 125 | <i>Regulation of synaptic plasticity</i> | 0.0071 |
| 126 | <i>Intracellular signal transduction</i> | 0.0073 |
| 127 | <i>Regulation of insulin secretion</i> | 0.0076 |
| 128 | <i>Positive regulation of multicellular organismal process</i> | 0.0077 |
| 129 | <i>Regulation of multicellular organismal process</i> | 0.0080 |

| No. | Proses Biologis | FDR |
|-----|---|--------|
| 130 | <i>Positive regulation of peptidyl-tyrosine phosphorylation</i> | 0.0082 |
| 131 | <i>Response to organic substance</i> | 0.0083 |
| 132 | <i>Negative regulation of cellular process</i> | 0.0088 |
| 133 | <i>Multicellular organismal process</i> | 0.0089 |
| 134 | <i>Cellular catabolic process</i> | 0.0092 |
| 135 | <i>Response to mechanical stimulus</i> | 0.0106 |
| 136 | <i>Signal transduction</i> | 0.0120 |
| 137 | <i>Positive regulation of macromolecule metabolic process</i> | 0.0120 |
| 138 | <i>Cellular aromatic compound metabolic process</i> | 0.0121 |
| 139 | <i>Positive regulation of protein secretion</i> | 0.0133 |
| 140 | <i>Positive regulation of cellular process</i> | 0.0138 |
| 141 | <i>Positive regulation of ion transport</i> | 0.0144 |
| 142 | <i>Positive regulation of transport</i> | 0.0144 |
| 143 | <i>Aging</i> | 0.0146 |
| 144 | <i>Organic cyclic compound metabolic process</i> | 0.0146 |
| 145 | <i>Response to stress</i> | 0.0147 |
| 146 | <i>Sensory perception</i> | 0.0147 |
| 147 | <i>Response to antibiotic</i> | 0.0196 |
| 148 | <i>Organonitrogen compound metabolic process</i> | 0.0196 |
| 149 | <i>Regulation of cellular process</i> | 0.0206 |
| 150 | <i>Response to abiotic stimulus</i> | 0.0215 |
| 151 | <i>Developmental process</i> | 0.0218 |
| 152 | <i>Activation of protein kinase activity</i> | 0.0248 |
| 153 | <i>Regulation of catalytic activity</i> | 0.0249 |
| 154 | <i>Regulation of nitrogen compound metabolic process</i> | 0.0318 |
| 155 | <i>Regulation of membrane potential</i> | 0.0328 |
| 156 | <i>Sensory perception of smell</i> | 0.0334 |
| 157 | <i>Positive regulation of neurogenesis</i> | 0.0352 |
| 158 | <i>Regulation of primary metabolic process</i> | 0.0359 |
| 159 | <i>Regulation of macromolecule metabolic process</i> | 0.0385 |
| 160 | <i>Organonitrogen compound biosynthetic process</i> | 0.0418 |

| No. | Proses Biologis | FDR |
|-----|------------------------------|--------|
| 161 | <i>Generation of neurons</i> | 0.0452 |

Tabel 6 menunjukkan terdapat 161 proses biologis yang melibatkan protein target dari senyawa aktif daun sirsak, proses biologis ini kebanyakan berhubungan dengan metabolisme dari *neurotransmiter* yang berperan dalam pengaturan depresi. Selain dari proses biologis, dapat dilihat juga fungsi molekular dari protein target pada Tabel 7.

Tabel 7. Fungsi Molekular Protein Target

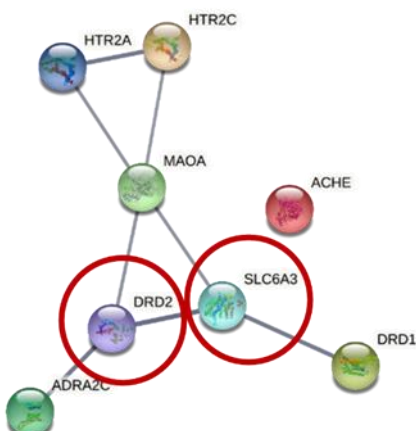
| No. | Fungsi molekular | FDR |
|-----|--|----------|
| 1 | <i>Ammonium ion binding</i> | 5.74e-12 |
| 2 | <i>Catecholamine binding</i> | 6.24e-09 |
| 3 | <i>Dopamine binding</i> | 8.59e-07 |
| 4 | <i>Neurotransmitter receptor activity</i> | 1.73e-06 |
| 5 | <i>G protein-coupled amine receptor activity</i> | 1.79e-05 |
| 6 | <i>Neurotransmitter binding</i> | 1.79e-05 |
| 7 | <i>1-(4-iodo-2,5-dimethoxyphenyl) propan-2-amine binding</i> | 1.79e-05 |
| 8 | <i>G protein-coupled receptor activity</i> | 8.73e-05 |
| 9 | <i>Dopamine neurotransmitter receptor activity</i> | 0.00012 |
| 10 | <i>Drug binding</i> | 0.00012 |
| 11 | <i>Serotonin binding</i> | 0.00012 |
| 12 | <i>G protein-coupled serotonin receptor activity</i> | 0.00032 |
| 13 | <i>G protein-coupled neurotransmitter receptor activity</i> | 0.00063 |
| 14 | <i>Protein homodimerization activity</i> | 0.0189 |
| 15 | <i>Protein-containing complex binding</i> | 0.0277 |
| 16 | <i>Organic cyclic compound binding</i> | 0.0333 |

Tabel 7 menunjukkan fungsi molekular protein target senyawa aktif daun sirsak. Fungsi molekular protein-protein ini antara lain sebagai reseptor *neurotransmiter* yang berperan dalam pengaturan depresi.

B Hasil penelusuran data sekunder yang dilakukan pada mesin pencarian literatur Google Scholar ditemukan 129 senyawa aktif pada daun sirsak, dari 129 terdapat 13 senyawa aktif yang memiliki kesamaan protein target dengan protein target yang dimiliki oleh obat antidepressan dengan nilai probabilitas diatas 0,7

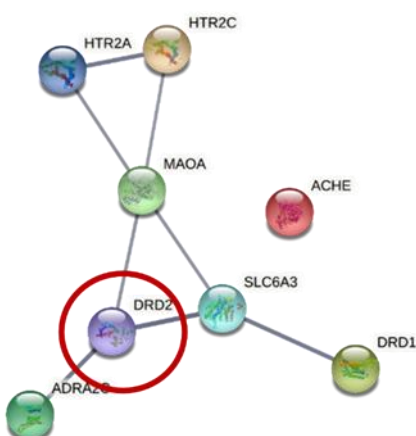
($\text{Pa}>0,7$). Nilai probabilitas ini menunjukkan keakuratan uji komputasi dengan hasil uji laboratorium tidak jauh berbeda.

Anoanine mentarget SLC6A3 dan DRD2 yang merupakan reseptor dari dopamin. Pada penelitian sebelumnya alkaloid yang diisolasi dari beberapa spesies *Annona* memiliki afinitas terhadap reseptor dopamin dapat memodulasi transmisi dopaminergik. Sehingga dapat meningkatkan jumlah *serotonin* dan dopamin.^{16–19} Mekanisme aksi *anonaine* terhadap protein target dapat dilihat pada Gambar 2.



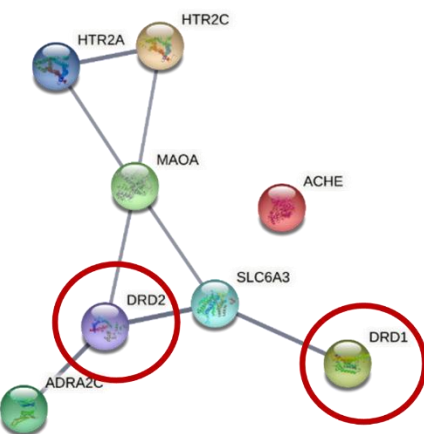
Gambar 2. Protein Target *Anonaine*

Atherosperminine mentarget DRD2, senyawa aktif ini memiliki efek agonis terhadap reseptor dopamin. *Atherosperminine* dapat menstimulasi kerja dari reseptor dopamin, sehingga dapat meningkatkan dan mempertahankan jumlah dopamin. *Coclaurine* mentarget DRD2, pada penelitian terdahulu *coclaurine* bertindak sebagai antagonis reseptor *asetilkolin nikotinik*, sehingga dapat menimbulkan efek relaksasi pada otot. Mekanisme aksi *atherosperminine* dan *coclaurine* terhadap protein target dapat dilihat pada Gambar 3.

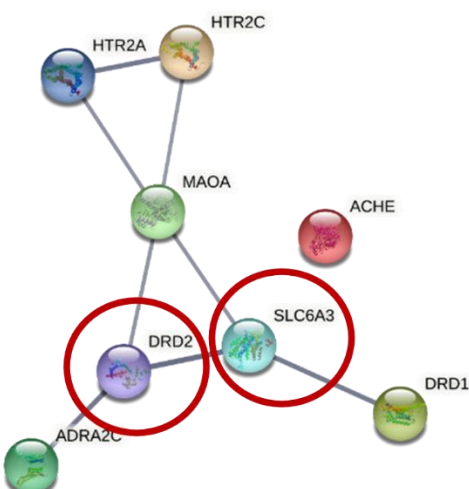


Gambar 3. Protein Target *Atherosperminine* dan *Coclaurine*

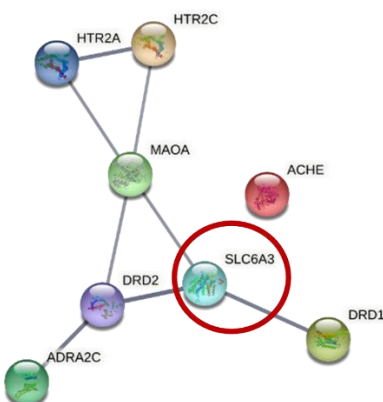
Reticuline mentarget DRD1 dan DRD2; senyawa aktif ini berperan sebagai penghambat reseptor dopamin atau bersifat anatgonis antagonist sehingga dopamin tidak dimetabolisme menjadi Homovanillic acid (HVA) dan tetap dalam bentuk dopamin. *Coreximine* mentarget DRD1 dan DRD2, senyawa aktif *coreximine* dapat menginhibisi penyerapan dopamin secara reversibel. Mekanisme aksi *coreximine* dan *reticuline* pada protein target dapat dilihat pada Gambar 4.

**Gambar 4.** Protein Target *Coreximine* dan *Reticuline*

Remerine atau reomerine mentarget DRD2 dan SLC6A3, senyawa aktif ini merupakan senyawa aktif yang dimiliki oleh reseptor *serotonin*. *Remerine* memiliki kemampuan interaksi yang lebih terhadap reseptor 5-HT2A dibanding 5-HT1A. Selain dengan reseptor *serotonin*, remerin juga dapat berinteraksi dengan reseptor dopamin D1 dan D2. Mekanisme aksi *remerine* pada protein target dapat dilihat pada Gambar 5.

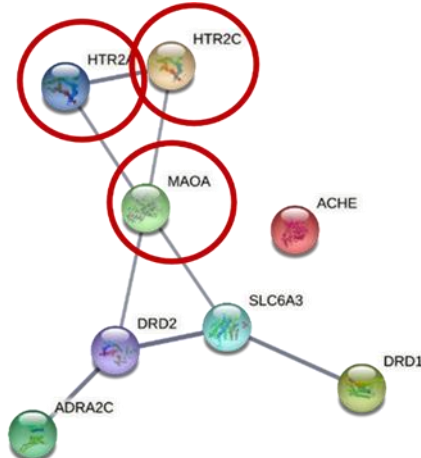
**Gambar 5.** Protein Target *Remerine*

Isolaureline mentarget SLC6A3, senyawa aktif ini memiliki sifat antagonis terhadap reseptor 5-HT2 sehingga *serotonin* tidak dapat berikatan dengan reseptornya. Efek yang ditimbulkan adalah berkurangnya gejala negatif pada penderita depresi. Mekanisme aksi *isolaureline* pada protein target dapat dilihat pada Gambar 6.



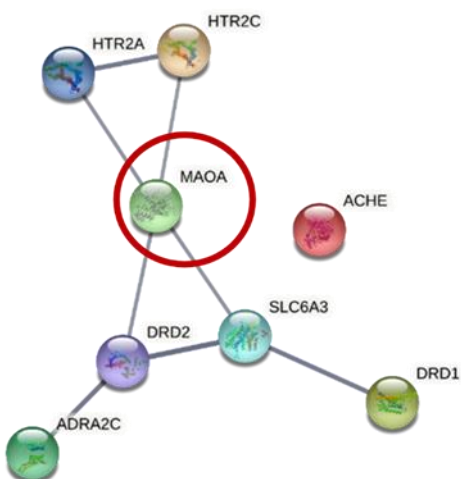
Gambar 6. Protein Target *Isolaureline*

Genistein mentarget HTR2A dan MAOA, senyawa aktif ini dapat berperan sebagai MAO-A dan MAO-B inhibitor. *Genistein* menghambat aktivitas oksidase monoamin dan mencegah kerusakan neurotransmitter monoamin dengan demikian meningkatkan ketersediaan monoamin. Mekanisme aksi *genistein* pada protein target dapat dilihat pada Gambar 7.



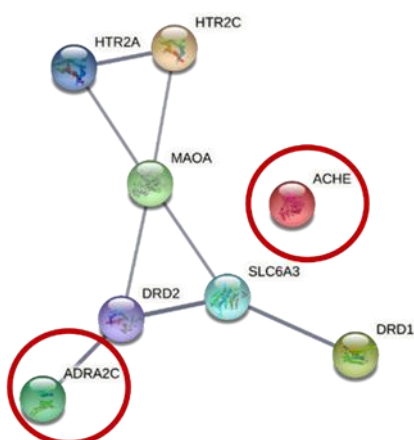
Gambar 7. Protein Target *Genistein*

Robinetin dan *quercetin* memiliki struktur yang sama C15H10O7. Kedua senyawa aktif ini dapat menghambat monoamine oxidase A (MAOA) sehingga tidak terjadi proses deaminasi serotonin. Mekanisme aksi *quercetin* dan *robinetin* pada protein target dapat dilihat pada Gambar 8.



Gambar 8. Protein Target *Quercetin* dan *Robinetin*

Sedangkan *Quercetin 3-O-neohesperidoside* dan *Rutin* yang merupakan *glikosida quercetin* mentarget ACHE, ADRA2A dan ADRA2C pada penelitian sebelumnya dapat bekerja dengan cara menghambat kerja dari reseptor ACHE sehingga proses neurotransmisi tidak segera berakhir dan ketersediaan *neurotransmitter* asetilkolin terjaga dalam ambang normal. Mekanisme aksi *quercetin 3-O-neohesperidoside* dan rutin pada protein target dapat dilihat pada Gambar 9.



Gambar 9. Protein Target *Quercetin 3-O-neohesperidoside* dan *Rutin*

Interaksi senyawa aktif daun sirsak dengan protein targetnya diperoleh dari hasil pengolahan pada laman *STRING* yang disajikan pada Tabel 7 dan Tabel 8. Tabel ini merangkum hasil penelitian eksperimental sebelumnya, dari sekian banyak penelitian dilakukan penilaian (*scoring*) hipotesis dengan metode *False Discovery Rate* (FDR) Benjamini-Hochberg. *False Discovery Rate* yang ditampilkan tidak lebih dari 0,05, nilai tersebut menunjukkan bukti signifikan.

Pada penelitian ini ditemukan bahwa senyawa aktif daun sirsak memiliki potensi untuk menjaga jumlah ketersediaan *neurotransmiter* yang berpengaruh pada patofisiologi depresi yaitu *norepinefrin*, *serotonin*, dan *dopamin*. Senyawa aktif *anonaine*, *atherosperminine*, *reticuline*, dan *coreximine* berperan dalam dengan memengaruhi kerja reseptor dopamin. Lalu, *Reticuline* yang dapat memengaruhi metabolisme dopamin agar tidak dimetabolisme menjadi HVA.

Selain memengaruhi dopamin, senyawa aktif daun sirsak juga memengaruhi reseptor *serotonin*, sehingga dapat menjaga ketersediaan *serotonin*. *Robinetin* dan *quercetin* memengaruhi MAOA dapat mengurangi penguraian dopamin dan *serotonin*. Sedangkan *glikosida quercetin*, *quercetin 3-O-*

neohesperidoside dan rutin menghambat kerja reseptor asetilkolin yang membuat ketersediaan asetilkolin dalam ambang normal.

D. Kesimpulan

Kesimpulan yang didapatkan dalam penelitian ini adalah kandungan senyawa aktif Daun sirsak (*Annona muricata L.*) memiliki kesamaan protein target dengan obat antidepresan sebanyak 13. Protein target senyawa aktif daun sirsak yang memiliki kesamaan dengan protein target obat antidepresan sebanyak delapan yaitu ACHE (*acetylcholinesterase*), ADRA2C (*Alpha-2C adrenergic receptor*), DRD1 (*D1A dopamine receptor*), DRD2 (*D2 dopamine receptor*), HTR2A (*5-hydroxytryptamine receptor 2A*), HTR2C (*5-hydroxytryptamine receptor 2C*), MAOA (*Monoamine oxidase A*) dan SLC6A3 (*Sodium-dependent dopamine transporter*). Senyawa aktif yang terkandung dalam daun sirsak (*Annona muricata L.*) dapat memengaruhi reseptor dan proses metabolisme *neurotransmitter norepinefrin*, dopamin, dan serotonin.

Daftar Pustaka

- [1] M. Marcus, M. Yasamy, O. M. Van, and D. Chisholm, “Depression, a global public health concern,” *World Fed. Ment. Heal.*, pp. 6–8, 2012.
- [2] *World Health Organization*, “Depression and other common mental disorders,” *Depress. other common Ment. Disord.*, pp. 5–20, 2017.
- [3] American Psychiatric Association, *Diagnostic and statistical manual of mental disorders*. Washington DC, 2013.
- [4] A. Wulandari and T. Purnomowati, A; Wahmurti, “Deteksi disfungsi endotel pada gangguan depresi mayor dengan pengukuran endothelial-dependent flow-mediated vasodilatation,” *Glob Med Heal Commun*, vol. 5, no. 1, pp. 27–32, 2017.
- [5] C. Oakley and M. A, “Rapid psychiatry. 2nd ed. West Sussex: Wiley-Blackwell,” pp. 49–50, 2010.
- [6] B. G. Katzung, *Basic and clinical pharmacology*, 14th ed. San Fransisco: McGraw-Hil, 2017.
- [7] B. Sadock, V. Sadock, and P. Ruiz, *Kaplan and Sadock's synopsis of psychiatry: behavioral sciences/clinical psychiatry*, 11th ed. New York: Wolters Kluwer, 2015.
- [8] L. Bjornlund, *Depression (diseases & disorders)*, 1st ed. New York: Lucent Books, 2010.
- [9] R. Ningtyas, M. Puspitasari, and S. KA, “Review artikel : farmakoterapi depresi dan pengaruh jenis kelamin terhadap efikasi antidepresan,” *Farmaka*, vol. 16, no. 2, pp. 186–201, 2016.
- [10] D. David and D. Gourion, “Antidepressant and tolerance: determinants and management of major side effects,” *Encephale*, vol. 42, no. 6, pp. 553–61, 2016.
- [11] M. Rajput, S. Sinha, V. Mathur, and P. Agrawal, “Herbal antidepressants,” *Int J Pharm Front Res*, vol. 1, no. 1, pp. 159–69, 2011.
- [12] L. Liu, C. Liu, Y. Wang, P. Wang, Y. Li, and B. Li, “Herbal medicine for anxiety, depression and insomnia,” *Curr Neuropharmacol*, vol. 13, no. 4, pp. 481–93, 2015.
- [13] M. Khurshid, “Drug discovery and *in silico* techniques: a mini-review,” *Enzym Eng*, vol. 4, no. 1, pp. 1–3, 2014.
- [14] K. Timotius, *Pengantar metodologi penelitian: pendekatan manajemen pengetahuan untuk perkembangan pengetahuan*. Yogyakarta: Penerbit Andi, 2017.